

炭素繊維シートで横拘束したコンクリート柱の応力度～ひずみ関係に及ぼす既存帯鉄筋の影響とその定式化

細谷学¹・川島一彦²

¹正会員 工修 大成建設株式会社 土木設計第一部 (〒163-0606 東京都新宿区西新宿1-25-1)
²フェロー会員 工博 東京工業大学教授 工学部土木工学科 (〒152-0033 東京都目黒区大岡山2-12-1)

既存の鉄筋コンクリート橋脚のじん性を向上させる目的で炭素繊維シート（以下、CFSと呼ぶ）を巻いて補強しようとすると、不十分とはいえ橋脚には既に帶鉄筋が存在しているため、橋脚にはCFSと帶鉄筋との両者による横拘束が作用することになる。したがって、CFSによる横拘束効果を地震時保有水平耐力法に基づいた鉄筋コンクリート橋脚の耐震補強設計に反映させるには、両者による横拘束の共同作用を評価する必要がある。本研究では、CFSと帶鉄筋の両者で拘束したコンクリート柱の一軸圧縮試験結果に、これまでの著者らの実験データを加えた合計46体の結果に基づいて、CFSと帶鉄筋の両者で拘束したコンクリート柱の応力度～ひずみに影響を与える要因を検討し、さらに、その関係を定式化した。

Key Words: carbon fiber sheet, hoop reinforcement, confinement effect, seismic retrofit, stress-strain relation, reinforced concrete bridge pier

1. まえがき

既存の鉄筋コンクリート橋脚（以下、RC橋脚と呼ぶ）のじん性向上を目的として、炭素繊維シート（以下、CFSと呼ぶ）を巻いて補強すると、不十分とはいえ橋脚には既に帶鉄筋が存在しているため、橋脚にはCFSと帶鉄筋の両者による横拘束が作用する。平成8年道路橋示方書V耐震設計編（以下、H8道示と呼ぶ）の地震時保有水平耐力法に基づいてCFSで補強したRC橋脚の耐力や変形性能の向上を算出するには、CFSと帶鉄筋の両者による横拘束効果の共同作用を正しく評価できるコンクリートの応力度～ひずみ関係が必要となる。

帶鉄筋あるいはCFS単独による横拘束効果についてはこれまでにも数多く研究されており、例えば、帶鉄筋の拘束効果についてはParkら¹⁾、Manderら²⁾、星隈ら³⁾が、CFSの拘束効果については著者ら⁴⁾の他に、小畠ら⁵⁾、宮内ら⁶⁾が定式化している。しかし、これらの研究は、帶鉄筋もしくはCFSのいずれかで拘束した場合の横拘束効果を与えるものであり、既存の帶鉄筋による拘束に加えて、さらにCFSで横拘束を与えた場合に、横拘束に及ぼす帶鉄筋とCFSの分担がどのようにになっているかについては、著者らの知る限りではほとんど研究されていない。

そこで著者らは、CFSと帶鉄筋の両者で補強した

コンクリート柱の一軸圧縮試験を行い、これまでに、カーボンファイバー比 ρ_{CF} が0.056～0.167%の円形断面柱^{7), 8)}と ρ_{CF} が0.111%の正方形断面柱⁸⁾に対して、CFSと帶鉄筋による横拘束の共同作用を研究してきた。本研究では、新たに $\rho_{CF}=1.336\%$ の円形断面柱と $\rho_{CF}=0.056\%, 0.167\%, 1.336\%$ の正方形断面柱に対する実験を行い、これまでのデータと合わせて、CFS量、帶鉄筋量、断面形状をパラメータとした合計46体の試験体による一軸圧縮試験⁹⁾に基づき、帶鉄筋とCFSの両者による横拘束効果を検討すると同時に、コンクリート柱の軸方向応力度～軸方向ひずみ関係の経験式を提案する。

2. 実験に用いた試験体および実験方法

実験の基本的な考え方は、文献1)～4)に従ったこれまでの実験^{7), 8)}と同一である。RC橋脚の曲げ耐力を低下させる主原因の1つは橋脚下端のコンクリートの圧壊であると考えられるため、橋脚下端の圧縮縁から取り出したコンクリート柱を想定し、これを単調一軸圧縮した時のコンクリートの軸方向応力度～軸方向ひずみ関係を求めることにより、CFSの拘束効果を検討することとした。実際には、圧縮力だけではなく引張力も作用し、さらにこれらが繰り

返し作用するため、実験の荷重状態は実際とは異なる点もあるが、実験上の制約から、従来の研究でもコンクリート柱の一軸圧縮試験をもとに横拘束効果が検討されており、本研究でもこれら既往の研究に従った。また実橋脚では、軸方向鉄筋の座屈によりかぶりコンクリートがはらみ出して耐力低下が生じるため、試験体には軸方向鉄筋を配置して、このような影響を考慮した。

本研究では、表-1 のように、断面形状、CFS 量および帶鉄筋量をパラメータとした合計46試験体を用いた。コンクリートの設計基準強度は 30N/mm^2 としたが、実際には強度にばらつきが生じるため、CFS や帶鉄筋で拘束した試験体と同一仕様の無補強試験体を実験ごとに製作して拘束効果を評価する際の基準とし、後述する定式化の検討ではコンクリート強度の影響を考慮した。表-1 には各試験体に対応する無補強試験体の圧縮強度を併記している。試験体の高さは圧縮強度試験に用いる試験体（直径100mm、高さ200mm）と相似になる400mmを基本とし、試験体の上下端面と載荷板間に生じる端面拘束の影響を小さくするため上下に100mmずつ加えている。コンクリートには早強ポルトランドセメントを使用し、スランプは8cm、粗骨材の最大寸法は20mmである。軸方向鉄筋にはSD295、直径6mmの異形棒鋼を使用し、軸方向鉄筋比は一般の橋脚の配筋から約1%とした。ここで、 ρ_{CF} はコンクリートに対するCFSの体積比、 ρ_s はH8道示に示されている帶鉄筋比（体積比）である⁴⁾。 ρ_{CF} が0.056~0.167%というのは、例えば直径3mの円柱橋脚であれば纖維目付量（=単位面積当たりの炭素纖維質量）300g/m²のCFSを2~6層程度巻く場合に相当し、実橋レベルでの施工性や経済性を考慮して実用的と考えられる補強量である。これに対して、 ρ_{CF} が1.336%というのは、前述の円柱橋脚であればCFSを約60層巻くのに相当し実用的な補強量とは言えないが、CFSによる横拘束効果がより顕著に現れる領域を検討するためである。本実験に使用したCFSの力学的特性は表-2の通りである。使用したCFSの纖維目付量は200g/m²を基本としたが、 $\rho_{CF}=1.336\%$ と非常に大きい試験体（C-17~20、S-17~20）では、接着性や施工性を考慮して巻き層数を少なくするため、300g/m²とした。

図-1は、試験体の補強方法と後述するひずみ測定位置の一例である。 ρ_{CF} が0.056~0.167%の試験体では帯状のCFS（幅12.5~37.5mm）を一定間隔で巻き付け、 ρ_{CF} が1.336%の試験体では各層のラップ位置が同一箇所に集中しないようにしてCFSを全面に4層巻き付けた。なお、 $\rho_{CF}=0.056\%$ の試験体には帯幅が10mmの場合（C-5、S-5）が、 $\rho_{CF}=0.167\%$ の試験

表-1 実験に用いた試験体

No.	断面形状	断面寸法	コンクリートの設計基準強度(N/mm ²)	炭素繊維シート		帶 鉄 筋			無補強試験体の圧縮強度(MPa)
				公称弾性係数(GPa)	ρ_{CF} (%)	種類	間隔(cm)	ρ_s (%)	
C-1a	円 形	$\phi 200\text{mm} \times h 600\text{mm}$	30	SR235 φ 6mm	-	-	-	-	38.51
C-1b					-	-	-	-	42.92
C-1c					-	-	-	-	44.80
C-2					0.056	SR235 φ 6mm	15 10 5	0.41 0.62 1.24	38.51
C-3					0.111	SR235 φ 6mm	15 10 5	0.41 0.62 1.24	
C-4					0.167	SR235 φ 6mm	15 10 5	0.41 0.62 1.24	
C-5					1.336	SR235 φ 6mm	15 10 5	0.41 0.62 1.24	
C-6					-	-	-	-	42.92
C-7					-	-	-	-	44.80
C-8					-	-	-	-	38.51
C-9	正方形	$\square 200\text{mm} \times h 600\text{mm}$	30	SR235 φ 6mm	-	-	-	-	37.92
S-1a					-	-	-	-	37.37
S-1b					-	-	-	-	42.94
S-1c					-	-	-	-	38.49
S-1d					-	-	-	-	44.75
S-1e					0.056	SR235 φ 6mm	15 10 5	0.41 0.62 1.24	37.92
S-2					0.111	SR235 φ 6mm	15 10 5	0.41 0.62 1.24	
S-3					0.167	SR235 φ 6mm	15 10 5	0.41 0.62 1.24	
S-4					1.336	SR235 φ 6mm	15 10 5	0.41 0.62 1.24	
S-5					-	-	-	-	37.92
S-6					-	-	-	-	42.94
S-7					-	-	-	-	38.49
S-8					-	-	-	-	42.94
S-9					-	-	-	-	37.92
S-10					-	-	-	-	37.92
S-11					-	-	-	-	37.37
S-12					-	-	-	-	42.94
S-13					-	-	-	-	44.75
S-14					-	-	-	-	42.94
S-15					-	-	-	-	37.37
S-16					-	-	-	-	42.94
S-17					-	-	-	-	37.37
S-18					-	-	-	-	42.94
S-19					-	-	-	-	37.37
S-20					-	-	-	-	42.94

表-2 実験に用いたCFSの力学的特性

試験体	C-5, C-9~13 S-5 S-9~13	C-6~8 C-16 S-6,S-8 S-15 S-16	C-14 C-15 S-7 S-14	C-17 S-17	C-18~20 S-18~20
繊維目付量	g/m ²	200	300		
繊維比重	-	1.80			
シート厚さ	mm	0.111	0.167		
引張強度	N/mm ²	3.481			
弾性係数	GPa	230			
破断ひずみ	%	1.5			
繊維目付量	g/m ²	200	205	205	306
シート厚さ	mm	0.110	0.111	0.111	0.167
引張強度	N/mm ²	4,227	4,119	4,403	4,433
弾性係数	GPa	243	243	235	252
破断ひずみ	%	1.74	1.70	1.87	1.76

注) 破断ひずみは実測していないため、ここに示す試験体は引張強度を弾性係数で除して求めた値である。

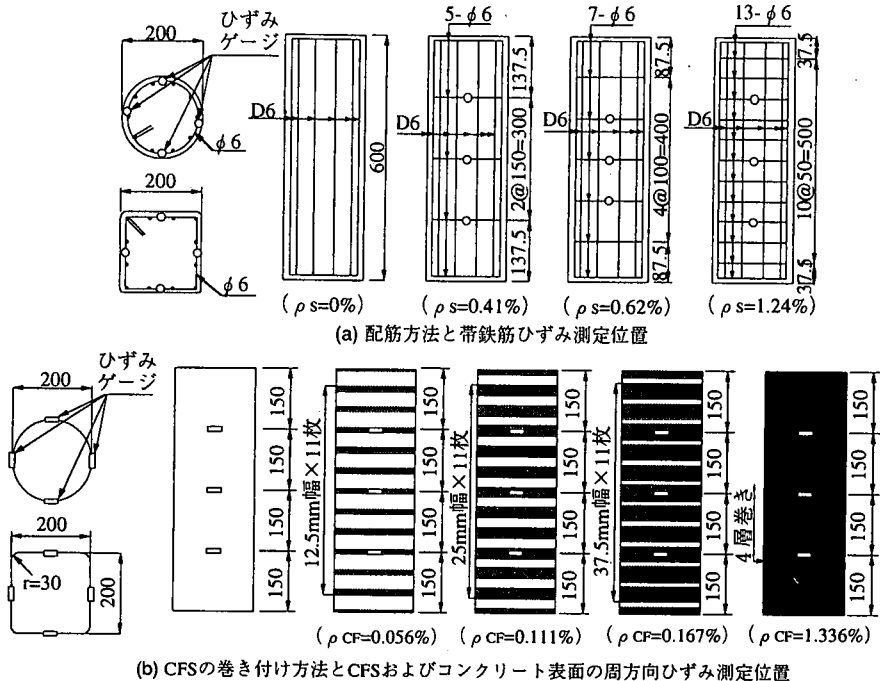


図-1 試験体の補強方法とひずみ測定位置

体には帯幅が30mmの場合(C-13, S-13)がある。CFSは帯鉄筋方向(周方向)に巻き付けラップ長は100mmとした。正方形断面の隅角部は、応力集中によるCFSの破断を防ぐために半径30mmで面取りした。帯鉄筋の定着部は、平成6年道路橋示方書IV下部構造編に従い、定着長60mmの鋭角フックとした。

図-2は載荷方法を示したものである。試験体には、毎分0.2mm程度の載荷速度で、変位制御によって単調一軸圧縮状態で荷重を作成させた。荷重が偏心して作用しないように、試験体の上下端面と載荷板との空隙は石膏で埋めて両者を密着させた。帯鉄筋を配置していない試験体($\rho_s=0\%$)は、耐力が急速に低下して破壊した時点で載荷を終了したが、帯鉄筋を配置した試験体は、耐力が徐々に低下し、その後、収束し始めた時点で載荷を終了した。

載荷時には、荷重、変位、CFSの周方向ひずみ、帯鉄筋ひずみおよびコンクリート表面の周方向ひずみを計測した。荷重の測定にはロードセル、変位の測定には変位計、CFS、帯鉄筋およびコンクリート表面のひずみの測定にはひずみゲージを用いた。図-1のように、CFSの周方向ひずみ、帯鉄筋ひずみおよびコンクリート表面の周方向ひずみは、試験体の上部、中央部、下部の3カ所、周方向に等間隔に各4点の合計12カ所で測定した。ただし、C-5, C-9~13, S-5, S-9~13では、高さ方向に3カ所、周方向に各2点の合計6カ所でCFSの周方向ひずみを測定し、C-

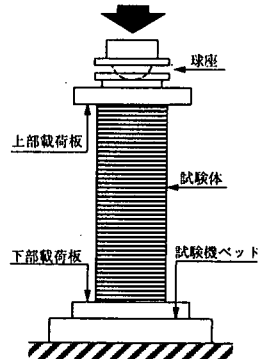


図-2 載荷方法

2, C-10~12, S-2, S-10~12では、高さ方向に3カ所、周方向に各2点の合計6カ所で帯鉄筋のひずみを測定した。いずれの試験体も、コンクリート表面およびCFSのひずみゲージは、帯鉄筋ひずみの測定位置に対応するように配置している。なお、C-1a, C-2, S-1a, S-2ではコンクリート表面の周方向ひずみを測定していない。試験体の軸方向ひずみは、試験体上下の載荷板間の変位を試験体全高で割って算出した。変位の測定区間をどのように設定するかは重要な問題であるが、載荷前にコンクリートの破壊領域を正確に予測したり破壊領域を客観的に特定することが困難で破壊領域の変位を精度良く測定する方法が確立されていないこと、コンクリートが破壊

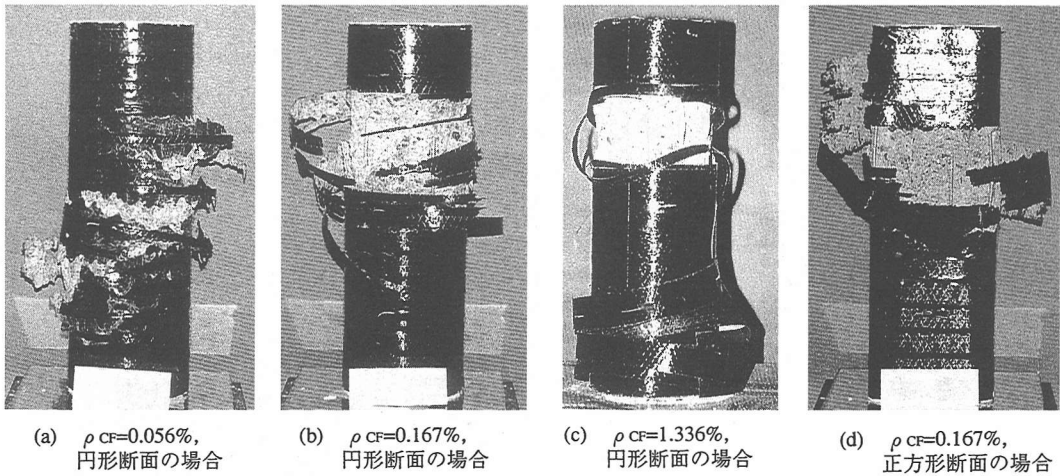


写真-1 CFS だけで補強した試験体の破壊性状

し始めてから局所的な破壊領域の変位をもとに軸方向ひずみを求めるとき、コンクリートの応力度～ひずみ関係が不連続になること等を考慮し、載荷の初期段階から終局まで比較的容易に精度良く軸方向ひずみが求められるという観点から既往の研究³⁾に従った。

3. コンクリート柱の破壊性状

(1) CFS だけで補強した場合

CFS を帯状に巻いた試験体 ($\rho_{CF}=0.056\sim 0.167\%$) では、帯状 CFS のある一本が破断して軸方向応力度が低下し始めると、残りの CFS が次々に破断し、軸方向応力度は急速に低下してほぼゼロになる。一方、CFS を全面に巻いた試験体 ($\rho_{CF}=1.336\%$) では、CFS の一部が破断すると、その部分のコンクリートが破壊し、軸方向応力度は急速にゼロにまで低下した。 ρ_{CF} が大きいほど、破壊時のコンクリートの損傷は大きいが、破壊領域は小さい。写真-1(a)～(c)のように、 $\rho_{CF}=0.056\%$ の場合には試験体のほぼ全高の広範囲にわたってかぶりコンクリートの剥落程度の損傷が生じたのに対して、 $\rho_{CF}=0.167\%, 1.336\%$ と大きくなるとコアコンクリートに至る損傷ではあるが破壊領域は限定され、例えば $\rho_{CF}=1.336\%$ では、試験体中央付近の約 100mm 区間だけが損傷していた。同一の ρ_{CF} であれば、正方形断面より円形断面の方が破壊時のコンクリートの損傷程度は大きく、 $\rho_{CF}=0.167\%$ の場合には、写真-1(b), (d) のように、円形断面試験体ではコアコンクリートに至る損傷が生じたのに対して、正方形断面試験体では、CFS がコーナー部から破断し、この部分にはコアコンクリートに至る損傷

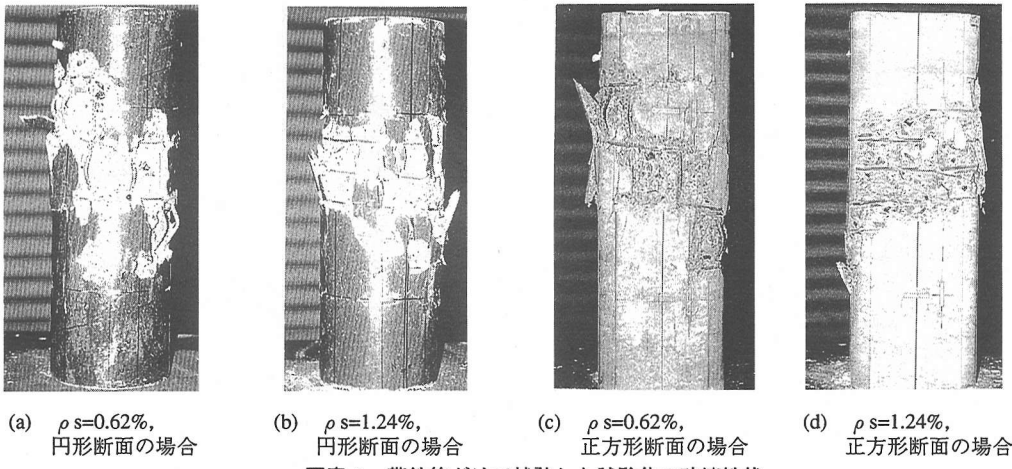
が生じたものの、この箇所以外はかぶりコンクリートの剥離程度の損傷であった。

(2) 帯鉄筋だけで補強した場合

コンクリートが最大圧縮応力度に達した後、軸方向鉄筋が座屈し、その部分のかぶりコンクリートが剥離し始めると、軸方向応力度は徐々に低下してある値に収束していく。最終的にはいずれの試験体も、軸方向鉄筋が座屈した部分のかぶりコンクリートがほとんど剥落し、試験体のほぼ全高にわたって破壊していた。写真-2 のように、いずれの断面形状も、 ρ_s による破壊性状の違いはないが、 ρ_s が大きいほど軸方向応力度の低下量は小さく、これは軸方向鉄筋の座屈が抑止されたためと考えられる。

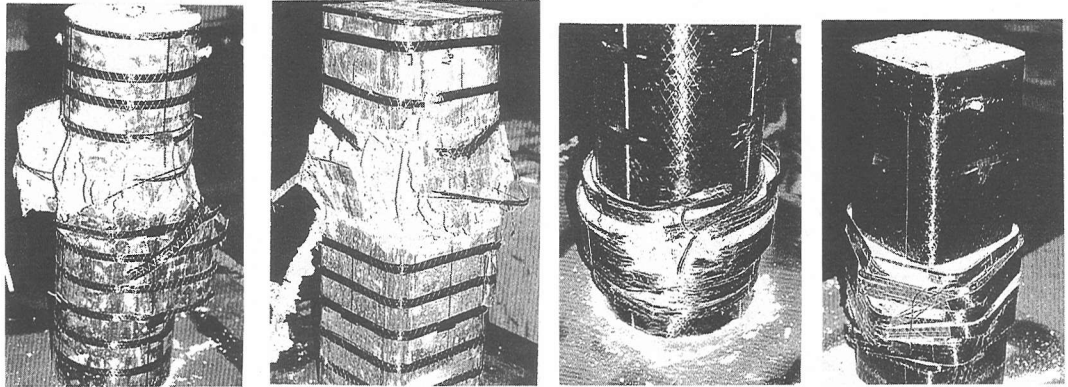
(3) CFS と帯鉄筋の両者で補強した場合

ρ_{CF} が 0.056~0.167% の場合には、コンクリートが最大圧縮応力度に達した後、帯状の CFS が 1~2 本破断すると軸方向応力度はある値だけ低下し、さらに載荷を続けると、残りの帯状の CFS が破断するごとに軸方向応力度は階段状に低下してある値に収束する。最終的には帯鉄筋だけで補強した場合に似た破壊特性を示した。これは、写真-3(a), (b) のように、最終的には軸方向鉄筋が座屈した部分のかぶりコンクリートがほとんど剥落しており、このような状態では CFS による横拘束がほとんどなく、帯鉄筋だけで拘束されている場合と似た状態になるためと考えられる。これに対して、 ρ_{CF} が 1.336% と大きい場合には、写真-3(c), (d) のように、ある範囲の CFS が破断すると同時に軸方向鉄筋が座屈し、かぶりコンクリートが剥落して軸方向応力度は急速に低下した。



(a) $\rho_s = 0.62\%$,
円形断面の場合
(b) $\rho_s = 1.24\%$,
円形断面の場合
(c) $\rho_s = 0.62\%$,
正方形断面の場合
(d) $\rho_s = 1.24\%$,
正方形断面の場合

写真-2 帯鉄筋だけで補強した試験体の破壊性状



(a) $\rho_s = 0.41\%$,
 $\rho_{CF} = 0.056\%$,
円形断面の場合
(b) $\rho_s = 0.41\%$,
 $\rho_{CF} = 0.056\%$,
正方形断面の場合
(c) $\rho_s = 0.41\%$,
 $\rho_{CF} = 1.336\%$,
円形断面の場合
(d) $\rho_s = 0.41\%$,
 $\rho_{CF} = 1.336\%$,
正方形断面の場合

写真-3 CFS と帶鉄筋の両者で補強した試験体の破壊性状

この時点でコアコンクリートに至る損傷が生じていたが、その後載荷を続けても損傷はそれ以上進展せず、軸方向応力度はある値に収束していった。 ρ_{CF} が 0.056~0.167% の場合に比べて、CFS が破断した時の衝撃や軸方向応力度の低下量は大きく、CFS だけで補強した場合に似た破壊特性を示した。

ρ_{CF} が 0.056~0.167%, 1.336% のいずれの場合でも、 ρ_{CF} が同一であれば、 ρ_s が大きいほど CFS 破断時の衝撃や軸方向応力度の低下量は小さいが、 ρ_s が同一の場合には ρ_{CF} が大きいほど CFS 破断時の衝撃や軸方向応力度の低下量は大きい。破壊性状には断面形状による違いはあまり認められないが、 ρ_s や ρ_{CF} が同一であれば CFS 破断時の衝撃は円形断面よりも正方形断面の方が大きい。これは正方形断面の帶鉄筋による拘束は円形断面に比べて十分ではなく、破断時の衝撃を抑える効果が小さいためと考えられる。

4. 軸方向応力度と軸方向ひずみの関係

図-3 および図-4 は、 ρ_{CF} が 0%, 0.056%, 0.111%, 0.167%, 1.336% の時に、 ρ_s が 0~1.24% と変化した場合の軸方向応力度比と軸方向ひずみの関係を断面形状別に示したものである。これらには、後述する提案式による計算結果も示している。ここで軸方向応力度比とは、各試験体の軸方向応力度 f_c を各試験体に対応する無補強試験体の最大圧縮応力度 f_{co} で除して無次元化したものである。円形断面の場合について着目すると、初期剛性はいずれも 16,000~20,000 MPa で、 ρ_s による違いはほとんどない。 ρ_{CF} が 0~0.167% の場合には、 ρ_s が大きいほど軸方向応力度の最大値 f_{cc} も大きく、 $\rho_s = 0\%$ の場合に比べて $\rho_s = 0.62\%$ では約 1 割、 $\rho_s = 1.24\%$ では 2~3 割程度増加している。 f_{cc} 時の軸方向ひずみ ε_{cc} も、 ρ_s につれて増加するが、 $\rho_s = 0\sim 0.62\%$ の範囲ではあまり顕著ではない。

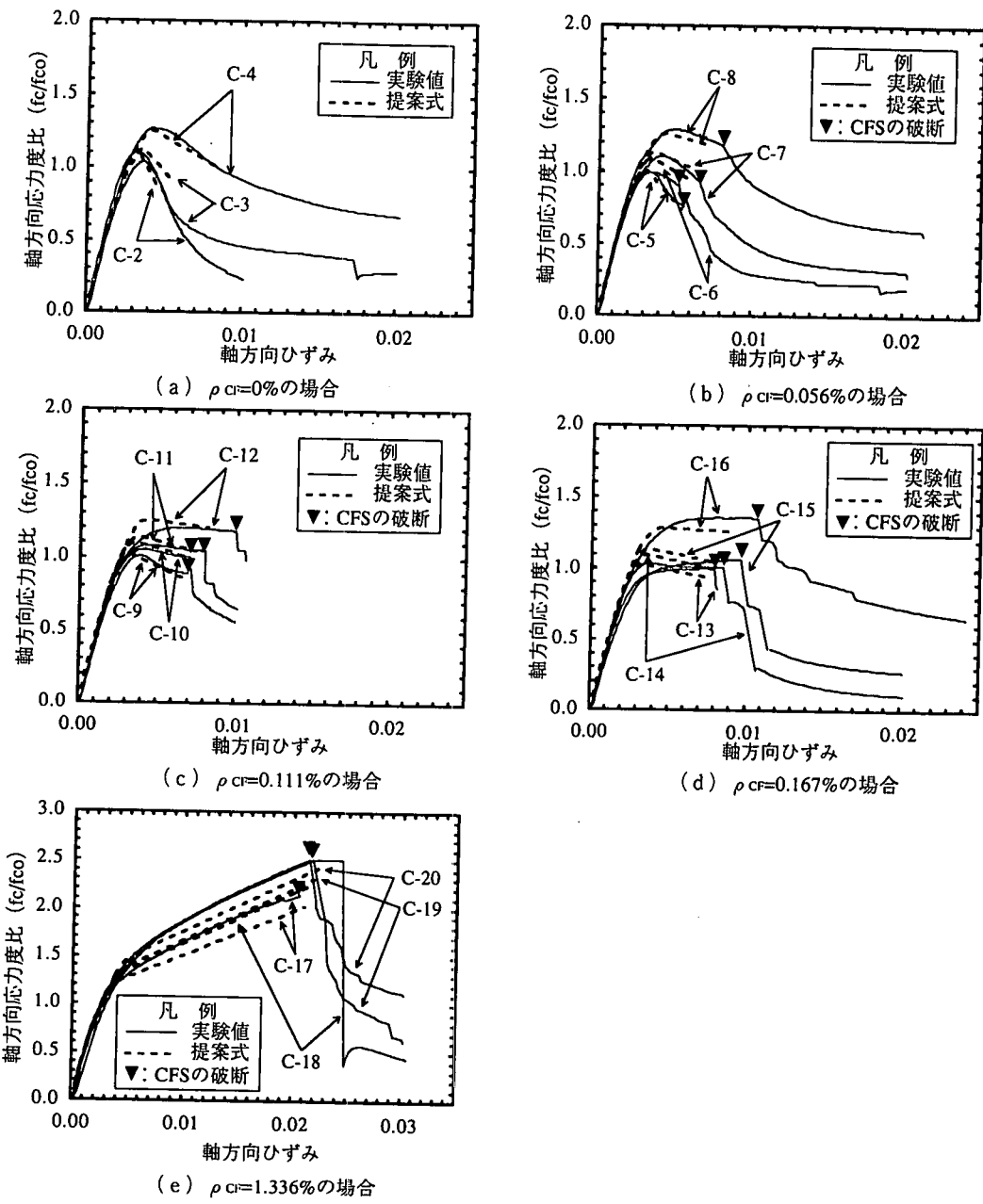
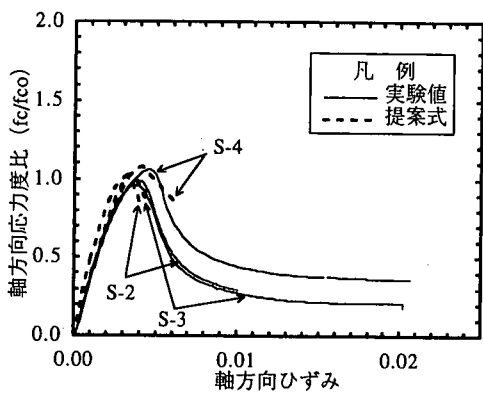


図-3 ρ_{cf} が同じで、 ρ_s が0~1.24%まで変化した場合の軸方向応力度比～軸方向ひずみ関係（円形断面の場合）

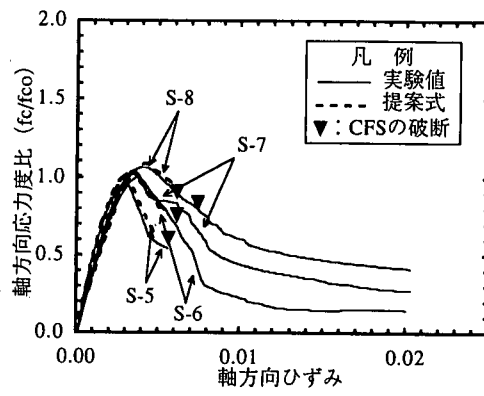
また、 f_{co} 後の2次勾配 E_g も ρ_s について大きくなる。なお終局ひずみについては後述する。 ρ_{cf} が1.336%と大きい場合には、CFSが破断するまで ρ_s が変化しても軸方向応力度比～軸方向ひずみ関係には顕著な違いは現れない。 ρ_s が大きいほど、CFS破断時の軸方向応力度の低下量は小さい。CFSが破断するまで ρ_s の違いが現れないのは、CFSによる拘束が帶鉄筋による拘束よりも相対的に大きかったためと考えられる。正方形断面の場合も基本的には円形断面の場合と同様であるが、円形断面の場合と同一の ρ_{cf} 、

ρ_s であれば、補強効果は円形断面より小さい。

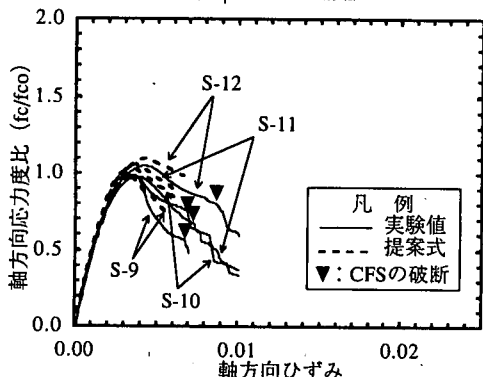
図-3、4を整理し直し、 ρ_s が0%，0.41%，0.62%，1.24%の時に、 ρ_{cf} が0~1.336%の範囲で変化した場合の軸方向応力度比～軸方向ひずみの関係を示すようにしたものが図-5である。ただし、正方形断面については代表例だけを示した。図-5より、 ρ_{cf} が0~0.167%と増加しても、 f_{co} には顕著な効果はないが、 ϵ_{co} は1,000~2,000 μ 程度向上している。また f_{co} 後の2次勾配 E_g は ρ_{cf} の増加につれて向上している。 ρ_{cf} が1.336%と大きくなると、軸方向応力度や2次勾配



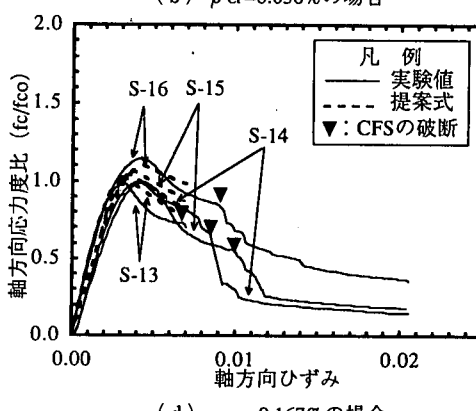
(a) $\rho_{cr}=0\%$ の場合



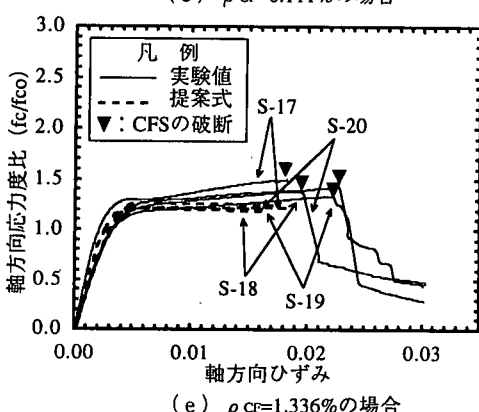
(b) $\rho_{cr}=0.056\%$ の場合



(c) $\rho_{cr}=0.111\%$ の場合



(d) $\rho_{cr}=0.167\%$ の場合



(e) $\rho_{cr}=1.336\%$ の場合

図-4 ρ_{cf} が同じで、 ρ_s が0~1.24%まで変化した場合の軸方向応力度比～軸方向ひずみ関係（正方形断面の場合）

にははつきりした補強効果が見られ、軸方向ひずみの増加とともに軸方向応力度は増加し続け、終局ひずみも大きく向上している。

5. 補強方法の違いによる終局時の破壊形態の比較

CFSだけ補強した場合には、ある載荷段階でCFSが破断すると同時にコンクリートの軸方向応力

度が急速に低下してほぼゼロになるため、この時点を終局状態とみなすことにする。しかし、帯鉄筋だけで補強した場合には、軸方向応力度は最大値に達した後、徐々に低下しある値に収束していくため、どの時点を終局状態とみなせばよいかが明確でなく、例えば星隈らは軸方向応力度が最大値の50%に低下した時点を終局と定義している³⁾。このように、CFSだけで補強した場合と帯鉄筋だけで補強した場合は、終局時の破壊形態は大きく異なる。CFSと帯鉄筋の両者で補強した場合には、これらの中間的な破

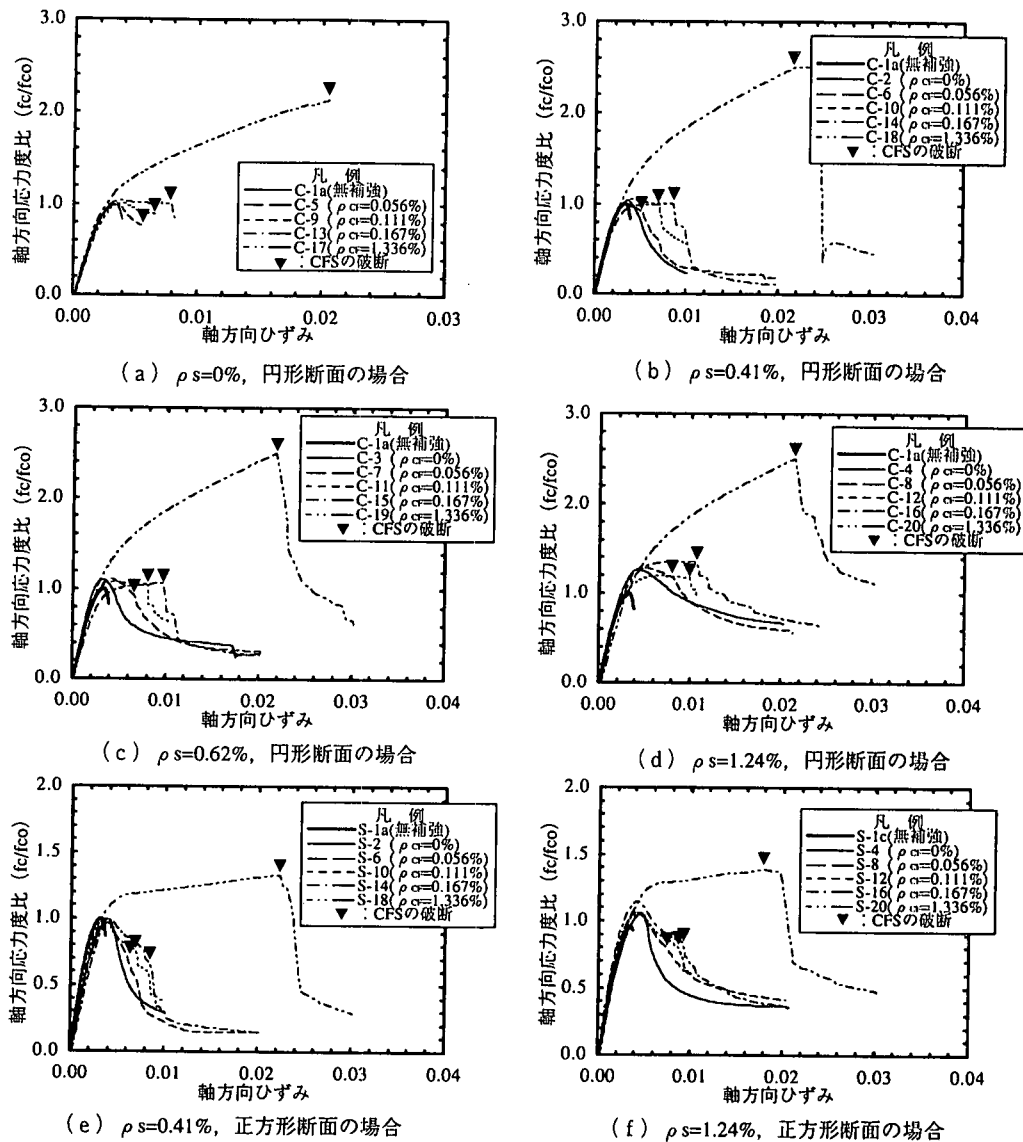


図-5 ρ_s が同じで、 ρ_{CF} が $0 \sim 1.336\%$ まで変化する場合の軸方向応力度比～軸方向ひずみ関係

壊形態を示す。CFS の一部が破断し始めると軸方向応力度はある値だけ低下し、載荷を続けると残りの CFS の一部が破断し軸方向応力度はさらにある値だけ低下する。このような過程を数回繰り返した後、最終的に軸方向応力度はある値に収束していく。ここで、このように最終的に収束した時のコンクリートの軸方向応力度を残留応力度 f_R と定義する。

ρ_{CF} が ρ_s よりも相対的に大きい場合には、CFS だけで補強した場合に近い壊形態となり CFS 破断時の軸方向応力度の低下量も大きい。これに対して、 ρ_{CF} が ρ_s よりも相対的に小さい場合には、帶鉄筋だけで補強した場合に似た壊形態となり CFS が破断しても軸方向応力度はあまり低下しない。壊形態

がこれらのいずれに近くなるかは、 ρ_{CF} と ρ_s の相対的な割合による。

表-3 は、CFS 破断時の軸方向ひずみ ϵ_{cu1} と軸方向応力度が最大値の 50%に低下した時の軸方向ひずみ ϵ_{cu2} 、残留応力度 f_R とこれを無補強試験体の最大圧縮応力度 f_{co} で除して無次元化した f_R/f_{co} を示したものである。一部の試験体 (C-11, C-12, S-12) は、軸方向応力度が最大値の 50%にまで低下する前に載荷を終了したが、これらについても実験で得られた最大の ϵ_{cu2} 、 f_R を示した。ただし、以下の解析には使用していない。表-3 より、すべての場合で、 $\epsilon_{cu2} \geq \epsilon_{cu1}$ となっている。

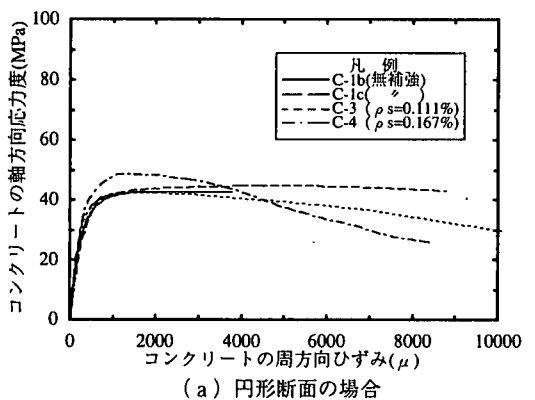
円形断面の場合には、 ρ_{CF} が 0.056%, 0.167%かつ

表-3 補強の違いによる終局ひずみの比較

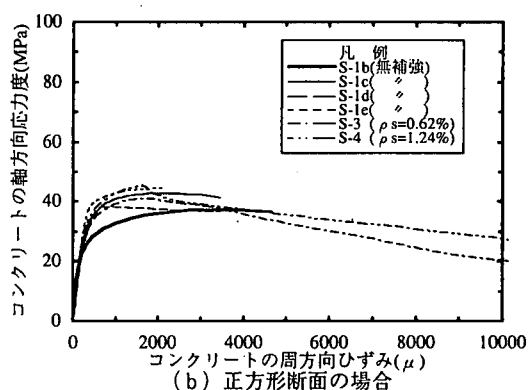
No.	ρ_{CF} (%)	ρ_s (%)	ϵ_{cu1} (μ)	ϵ_{cu2} (μ)	f_R (MPa)	f_R/f_{co}	No.	ρ_{CF} (%)	ρ_s (%)	ϵ_{cu1} (μ)	ϵ_{cu2} (μ)	f_R (MPa)	f_R/f_{co}
C-2	0	0.41	—	6,280	注4) 8.96	注4) 0.23	S-2	0	0.41	—	6,190	注4) 11.19	注4) 0.30
C-3		0.62	—	7,110	11.10	0.29	S-3		0.62	—	6,030	7.98	0.19
C-4		1.24	—	20,210	25.92	0.67	S-4		1.24	—	7,890	15.58	0.36
C-5		0	5,600	—	—	—	S-5		0	5,570	—	—	—
C-6	0.056	0.41	5,200	7,300	7.40	0.19	S-6	0.056	0.41	6,120	7,150	6.41	0.15
C-7		0.62	6,680	9,210	10.91	0.28	S-7		0.62	6,120	8,780	10.54	0.27
C-8		1.24	8,130	16,540	21.93	0.57	S-8		1.24	7,390	11,590	17.77	0.41
C-9		0	6,890	—	—	—	S-9		0	6,750	—	—	—
C-10	0.111	0.41	7,040	10,050	注4) 21.60	注4) 0.56	S-10	0.111	0.41	6,930	8,450	注4) 12.69	注4) 0.33
C-11		0.62	8,000	注4) 10,180	注4) 24.96	注4) 0.65	S-11		0.62	7,300	8,750	注4) 14.09	注4) 0.37
C-12		1.24	10,000	注4) 10,660	注4) 37.84	注4) 0.98	S-12		1.24	8,660	注4) 10,030	注4) 22.63	注4) 0.60
C-13		0	7,880	—	—	—	S-13		0	6,840	—	—	—
C-14	0.167	0.41	8,460	10,270	4.98	0.11	S-14	0.167	0.41	8,530	8,830	6.72	0.15
C-15		0.62	9,780	11,260	12.37	0.28	S-15		0.62	10,010	10,370	7.78	0.18
C-16		1.24	10,630	23,050	25.10	0.65	S-16		1.24	8,970	11,320	15.38	0.36
C-17		0	20,470	—	—	—	S-17		0	18,230	—	—	—
C-18	1.336	0.41	21,630	21,630	注4) 12.79	注4) 0.45	S-18	1.336	0.41	22,260	24,190	注4) 12.45	注4) 0.29
C-19		0.62	21,680	23,930	注4) 24.01	注4) 0.62	S-19		0.62	22,730	26,200	注4) 18.81	注4) 0.44
C-20		1.24	21,370	26,450	注4) 43.20	注4) 1.12	S-20		1.24	17,970	20,970	注4) 19.70	注4) 0.46

注1) 最大圧縮応力度の54%にまで低下した時の値, 注2) 最大圧縮応力度の82%にまで低下した時の値

注3) 最大圧縮応力度の57%にまで低下した時の値, 注4) 軸方向応力度が十分収束する以前に載荷を終了した時の値



(a) 円形断面の場合



(b) 正方形断面の場合

図-6 コンクリートの軸方向応力度～周方向ひずみの関係

ρ_s が 1.24% の場合には、 $\epsilon_{cu2} - \epsilon_{cu1}$ は約 8,400 μ (C-8), 約 12,400 μ (C-16) であり、CFS が破断しても軸方向応力度はゆっくりと低下するのに対して、 ρ_{CF} が 1.336% かつ ρ_s が 0.41%, 0.62% の場合には、 $\epsilon_{cu2} - \epsilon_{cu1}$ は 0 μ (C-18), 約 2,300 μ (C-19) と小さく、CFS が破断した後、急速に軸方向応力度は低下する。正方形断面の場合には、前者に対しては $\epsilon_{cu2} - \epsilon_{cu1}$ は約 2,350 μ (S-8), 約 4,200 μ (S-16), 後者に対しては $\epsilon_{cu2} - \epsilon_{cu1}$ は約 1,900 μ (S-18), 約 3,500 μ (S-19) と明確な違いは見られず、 ρ_{CF} と ρ_s が破壊形態に与える影響は、円形断面の場合ほど顕著ではない。

残留耐力 f_R と f_R/f_{co} をみると、断面形状に関係なく、 ρ_{CF} が同一の場合には ρ_s が大きいほど f_R/f_{co} も増加し、例えば円形断面で $\rho_{CF}=0.056\%$ の場合には、 ρ_s が 0.41%, 0.62%, 1.24% と大きくなるにつれて、 f_R/f_{co} も 0.19, 0.28, 0.57 と増加する。これに対して、 ρ_s が同一の場合には f_R/f_{co} は ρ_{CF} にあまり関係なく、

例えば円形断面の場合には、 $f_R/f_{co} \approx 0.1 \sim 0.2$ ($\rho_s=0.41\%$ の場合), 0.3 ($\rho_s=0.62\%$ の場合), 0.6 ($\rho_s=1.24\%$ の場合) である。また、円形断面の f_R/f_{co} は正方形断面の場合よりもやや大きい。

6. コンクリートの軸方向応力度と周方向ひずみの関係

(1) コンクリートの周方向ひずみ

図-6 は、 $\rho_{CF}=0\%$ の試験体のコンクリートの軸方向応力度～周方向ひずみの関係を断面形状別に示したものである。各試験体のひずみは、損傷が最も大きい位置の値である。断面形状に関係なく、コンクリートの周方向ひずみが 500~1,000 μ 程度に達すると、軸方向応力度の増加割合が鈍くなりコンクリート表面の周方向ひずみが急速に増加し始める。そして、

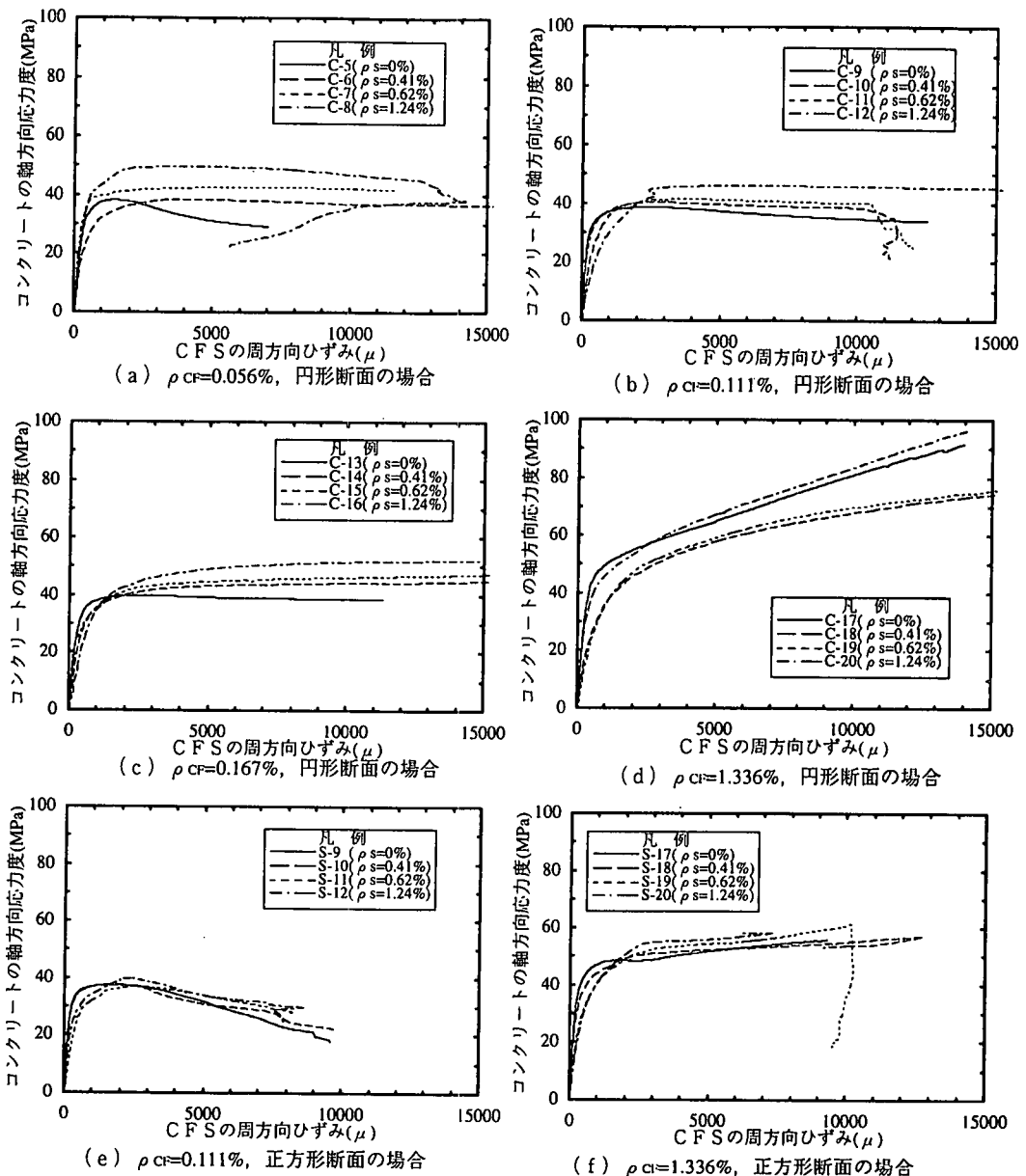


図-7 コンクリートの軸方向応力度～CFS の周方向ひずみの関係

周方向ひずみが 2,000 μ 程度に達した時点で軸方向応力度はほぼ最大となる。これは、コンクリートの周方向ひずみが 500~1,000 μ 程度に達すると、コンクリート柱の内部に破壊が生じて急速に周方向に膨張し始め、さらに周方向ひずみが 1,000~2,000 μ 程度に達すると、コンクリートの圧壊が進展して、それ以上は軸方向の荷重に抵抗できなくなる^{4), 7)} ためと考えられる。

(2) CFS の周方向ひずみ

図-7 は、 ρ_{cf} が 0.056%, 0.111%, 0.167%, 1.336%

の場合に、 ρ_s を 0~1.24% と変化させるとコンクリートの軸方向応力度～CFS の周方向ひずみの関係がどのように変化するかを断面形状別に示したものである。ただし、正方形断面については代表例だけを示した。各試験体のひずみは損傷が最も大きい位置の値である。図-7 によれば、 ρ_{cf} や ρ_s の大きさ、断面形状にはほとんど関係なく、CFS の周方向ひずみが 500~1,000 μ 程度に達すると、コンクリートの軸方向応力度の増加割合は鈍くなり CFS の周方向ひずみは急速に増加する。さらに CFS の周方向ひずみが 2,000 μ 程度に達すると、 ρ_{cf} や ρ_s が比較的小さい場合に

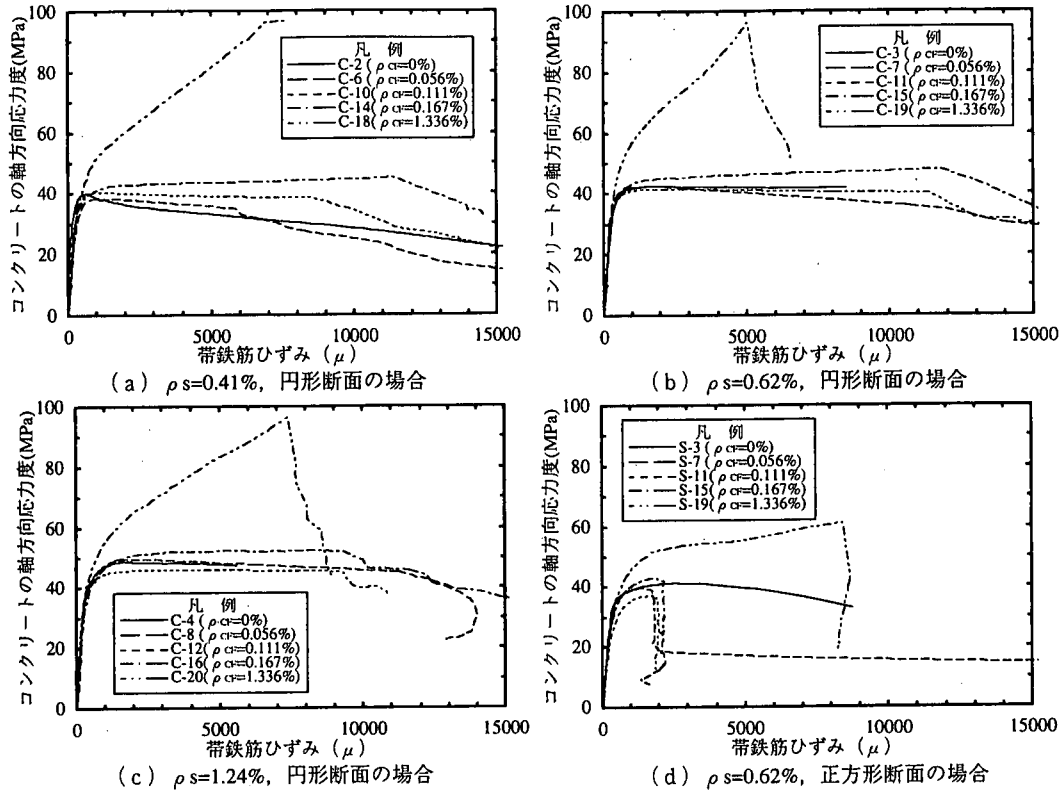


図-8 コンクリートの軸方向応力度～帶鉄筋ひずみの関係

はコンクリートの軸方向応力度は最大値に達し、 ρ_{cf} や ρ_s が大きい場合には軸方向応力度は増加し続けるが、その増加割合は小さくなる。

このようにコンクリートの軸方向応力度が最大値に達したり、軸方向応力度の増加割合が小さくなる時点では、CFS の周方向ひずみは 2,000 μ 程度にすぎず、CFS の破断ひずみが約 15,000 μ であることを考慮すると、この時点で CFS に生じている引張力は最大引張力の 1/7~1/8 程度でしかない。前述のように、CFS で補強しない ($\rho_{cf}=0\%$) 場合には、コンクリートの周方向ひずみが約 2,000 μ に達した時に軸方向応力度は最大になることから、CFS で補強した場合も、コンクリートの周方向ひずみが約 2,000 μ に達すると、CFS はまだ弾性域であってもコンクリートの内部が破壊し始めて軸方向の荷重に抵抗する能力が小さくなり、軸方向応力度が最大値に達したり、あるいはその増加割合が小さくなると考えられる。

CFS の破断時のひずみは、図-7 のようにばらついており、必ずしも公称破断ひずみ（約 15,000 μ ）に近い値とはならない。これは、CFS のひずみ分布が周方向に一様でないこと、ひずみゲージが破断箇所のひずみを測定しているとは限らないこと、CFS の破断による衝撃のため、CFS 破断後はひずみ測定値

の信頼性が低くなること等が原因と考えられる。

(3) 帯鉄筋ひずみ

図-8 は、 ρ_{cf} が 0.056%, 0.111%, 0.167%, 1.336% の場合に、 ρ_s が 0.41~1.24% と変化させるとコンクリートの軸方向応力度と帶鉄筋ひずみの関係がどのようになるかを断面形状別に示したものである。ただし、正方形断面については代表例だけを示した。各試験体のひずみは損傷が最も大きい位置の値である。図-8 によれば、断面形状に関係なく、帶鉄筋ひずみが 500~1,000 μ 程度に達すると、軸方向応力度の増加割合に比べて帶鉄筋ひずみの増加割合が急速に大きくなる。その後、帶鉄筋ひずみが 2,000 μ 程度に達した時点で、 ρ_{cf} や ρ_s が小さい場合には軸方向応力度は最大となり、 ρ_{cf} や ρ_s が大きい場合には軸方向応力度の増加割合が小さくなる。一般に、帶鉄筋の降伏ひずみは 2,000 μ 程度であるから、この時点では帶鉄筋は降伏しているとみることができる。

前述した CFS の周方向ひずみと同様に考えると、帶鉄筋ひずみが 2,000 μ 程度に達した時点でコンクリートの軸方向応力度が最大値に達したり、軸方向応力度の増加割合が小さくなるのは、帶鉄筋が降伏するためというよりも、コンクリートの周方向ひずみ

表-4 CFS および帶鉄筋による横拘束効果の評価式

CFS の場合 ⁴⁾		帯鉄筋の場合(H8 道示)							
$f_c \sim \epsilon_c$	コンクリート柱の軸方向応力度 f_c ~ 軸方向ひずみ ϵ_c の関係 a) 第1領域 ($0 \leq \epsilon_c \leq \epsilon_t$) ・ $E_g < 0$ の場合 $f_c = E_c \epsilon_c \left\{ 1 - \frac{1}{n} \left(\frac{\epsilon_c}{\epsilon_t} \right)^{n-1} \right\}$ ただし, $n = \frac{E_t \epsilon_t}{E_c \epsilon_t - f_t}$ (1) ・ $E_g \geq 0$ の場合 $f_c = E_c \epsilon_c \left\{ 1 - \frac{1}{n} \left(1 - \frac{E_g}{E_c} \right) \left(\frac{\epsilon_c}{\epsilon_t} \right)^{n-1} \right\}$ ただし, $n = \frac{(E_c - E_g) \epsilon_t}{E_c \epsilon_t - f_t}$ (2) b) 第2領域 ($\epsilon_t \leq \epsilon_c \leq \epsilon_{cu}$) $f_c = f_t + E_g (\epsilon_c - \epsilon_t)$ (3)	コンクリート柱の軸方向応力度 f_c ~ 軸方向ひずみ ϵ_c の関係 a) 応力上昇域 ($0 \leq \epsilon_c \leq \epsilon_t$) $f_c = E_c \epsilon_c \left\{ 1 - \frac{1}{n} \left(\frac{\epsilon_c}{\epsilon_t} \right)^{n-1} \right\}$ ただし, $n = \frac{E_t \epsilon_t}{E_c \epsilon_t - f_t}$ (8) b) 応力下降域 ($\epsilon_t \leq \epsilon_c \leq \epsilon_{cu}$) $f_c = f_t + E_g (\epsilon_c - \epsilon_t)$ (9)							
f_t	第1領域から第2領域に変化する点の軸方向応力度 $f_t = f_{co} + A \rho_{CF} \epsilon_{CF} E_{CF}$ (4)	最大圧縮応力度 $f_t = f_{co} + A' \rho_s f_{yh}$ (10)							
ϵ_t	第1領域から第2領域に変化する点の軸方向ひずみ $\epsilon_t = B_1 + B_2 \frac{\rho_{CF} \epsilon_{CF} E_{CF}}{f_{co}}$ (5)	最大圧縮応力度が生じる時の軸方向ひずみ $\epsilon_t = 0.002 + B' \frac{\rho_s f_{yh}}{f_{co}}$ (11)							
E_g	2次勾配 $E_g = C_1 \frac{f_{co}^2}{\rho_{CF} \epsilon_{CF} E_{CF}} + C_2 \sqrt{\rho_{CF}} E_{CF}$ (6)	2次勾配 $E_g = -11.2 \frac{f_{co}^2}{\rho_s f_{yh}}$ (12)							
ϵ_{cu}	終局ひずみ $\epsilon_{cu} = D_1 + D_2 \left(\frac{\rho_{CF} f_{CF}}{f_{co}} \right)^{\frac{3}{4}} \left(\frac{f_{CF}}{E_{CF}} \right)^{\frac{1}{2}}$ (7)	終局ひずみ $\epsilon_{cu} = \epsilon_t - \frac{0.2 f_t}{E_g}$ (13)							
備考	E_c =初期弾性係数(N/mm ²), E_{CF} =CFS の弾性係数(N/mm ²), ϵ_{CF} =第1領域から第2領域に変化する時のCFSの周方向ひずみ (ここでは 1,500 μ とする), f_{co} =無補強試験体のコンクリート強度(N/mm ²), f_{CF} =CFS の引張強度(N/mm ²), f_{yh} =帯鉄筋の降伏強度(N/mm ²), ρ_{CF} =カーボンファイバー比 (コンクリートに対するCFSの体積比), ρ_s =帯鉄筋比 (コンクリートに対する帯鉄筋の体積比)								
	A	A'	B1	B2	B'	C1	C2	D1	D2
円形	1.93	3.8	0.00343	0.00939	0.0330	-0.658	0.078	0.00383	0.1014
正方形	1.53	0.76	0.00330	0.00995	0.0132	-1.198	0.012	0.00340	0.0802

みが約 2,000 μ に達するとコンクリートの内部が破壊し始めるためと考えられる。すなわち、どのように CFS や帶鉄筋でコンクリート柱を拘束しても、コンクリートの周方向ひずみが約 2,000 μ に達すると、コンクリートは破壊し始め、軸方向応力度が最大値に達したり、軸方向応力度の増加割合が小さくなることを示している。ここで重要な点は、コンクリートの周方向ひずみが 2,000 μ 程度の時点では、CFS はまだ弾性域で CFS には最大引張力の 1/7～1/8 程度の引張力しか生じていないのに対して、帶鉄筋は降伏して最大引張力に達している点である。

7. CFS および帶鉄筋による拘束効果の評価式

(1) CFS の場合

以上の実験結果をもとに、CFS と帶鉄筋の両者で拘束したコンクリート柱の軸方向応力度～軸方向ひずみ関係の定式化を検討する。まず、CFS による横拘束効果に関しては、既に著者らが評価式を提案している⁴⁾。これは、図-9 のようにコンクリート柱の軸方向応力度～軸方向ひずみの関係を軸方向応力度

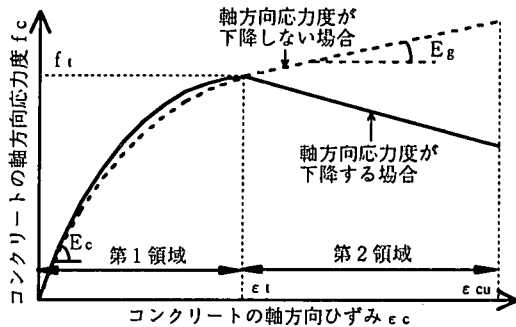


図-9 特性値の定義

が軸方向ひずみの指數関数で上昇する第1領域と、上昇勾配が緩やかになり軸方向応力度が軸方向ひずみの増加とともに直線的に増加あるいは減少する第2領域に区分し、第1領域および第2領域の軸方向応力度を、それぞれ軸方向ひずみの指數関数および一次関数を用いて、表-4の式(1)～(3)のようにモデル化したものである。コンクリート柱の軸方向応力度～軸方向ひずみの関係を与えるためには、第1領域から第2領域に変化する点におけるコンクリートの軸方向応力度 f_c 、第1領域から第2領域に変化する点におけるコンクリートの軸方向ひずみ ϵ_c 、第2領域

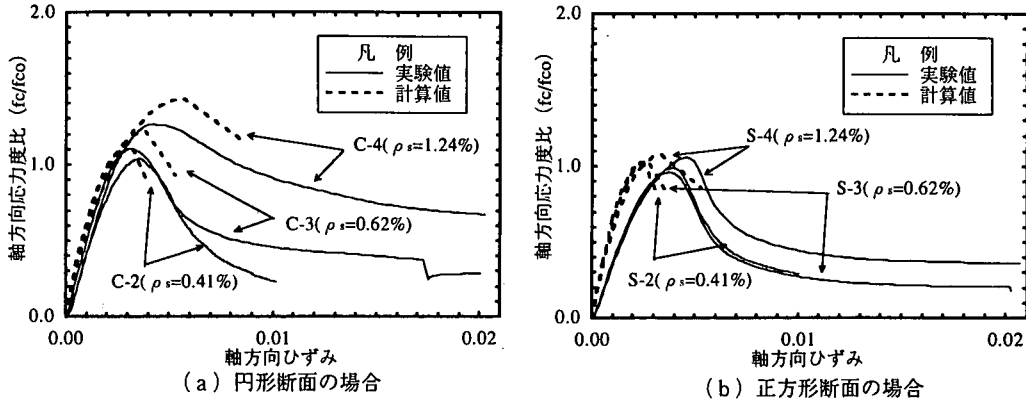


図-10 帯鉄筋で補強した試験体の軸方向応力度～軸方向ひずみ関係
(式(8)～(13)を用いた計算値と実験値との比較)

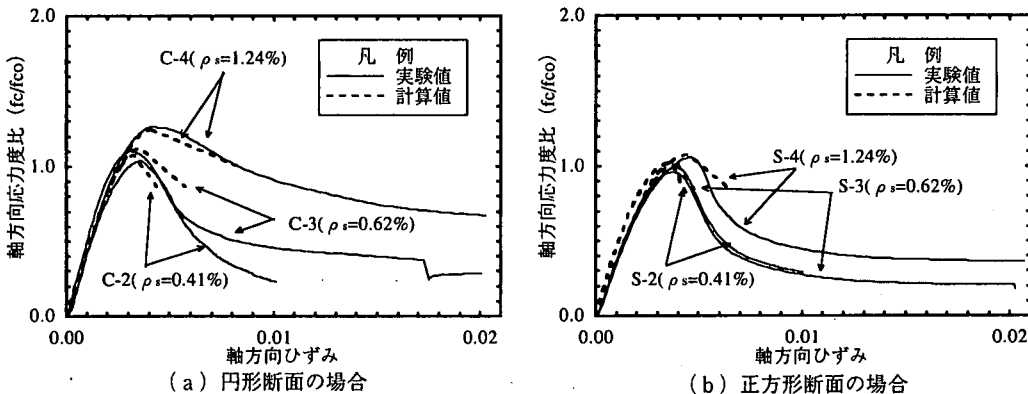


図-11 帯鉄筋で補強した試験体の軸方向応力度～軸方向ひずみ関係
(式(10)～(12)の代わりに式(14)～(17)を用いた計算値と実験値との比較)

域における勾配（2次勾配） E_g 、コンクリートの終局ひずみ ϵ_{cu} の4つの特性値が必要となり、それぞれ、表-4の式(4)～(7)で与えている。

(2) 帯鉄筋の場合

帯鉄筋による横拘束効果は、H8道示の評価式を以下のように修正して与えることにする。H8道示の評価式において、前述したCFSによる拘束効果の評価式と記号を統一し、また、 $f_{cc} \rightarrow f_t$ 、 $\epsilon_{cc} \rightarrow \epsilon_t$ 、 $E_{des} \rightarrow E_g$ と置き換え、さらに、 E_g としては軸方向ひずみの増加に伴って軸方向応力度が増加する場合を正の向きとすると、H8道示の帯鉄筋による横拘束効果は表-4の式(8)～(13)のようになる。

問題は、式(8)～(13)が今回の実験試験体に対して、どの程度一致する近似を与えるかであり、この一致度が低いと、帯鉄筋とCFSの両者による横拘束効果を正しく評価することができない。このため、今回行った実験の中から、帯鉄筋だけで補強した試験体（C-2~4, S-2~4）計6体について、軸方向応力度～軸方向ひずみの関係を式(8)～(13)により計算し、これを実験値と比較した結果が図-10である。円形断面の

場合には、 f_t/f_{co} の計算値は約10%、 ϵ_t の計算値は約30%実験値より大きく、 E_g の計算値は実験値よりも小さい。また、正方形断面の場合には、 f_t/f_{co} の計算値は実験値とほぼ同じであるが、 ϵ_t の計算値は実験値に比べて30~40%程度小さい。2次勾配 E_g は、S-2とS-3では計算値と実験値はほぼ同じであるが、S-4では計算値の方が実験値よりも大きい。

このように、多数の試験体に対する解析から求められた式(8)～(13)による計算式が個々の実験値と多少異なる結果を与えることはやむを得ないが、この中にCFSによる拘束効果が隠れてしまうことには問題がある。このため、ここでは評価式の形としては式(8)～(13)をそのまま使用し、係数に関しては、計算値と実験値の違いが著しい円形断面の f_t 、 ϵ_t および E_g 、正方形断面の ϵ_t に対する式(10)～(12)を、今回の実験結果を最もよく説明するように、以下のように修正することとした。

$$f_t = f_{co} + 2.2\rho_s f_{yh} \quad (\text{円形断面の場合}) \quad (14)$$

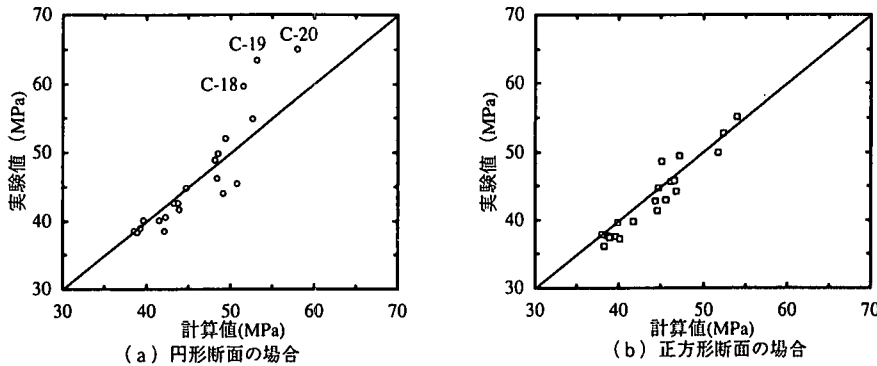


図-12 f_i の計算値と実験値との比較

$$\varepsilon_i = 0.0029 + 0.0107 \frac{\rho_s f_{yh}}{f_{co}} \quad (\text{円形断面の場合}) \quad (15)$$

$$\varepsilon_i = 0.0033 + 0.0114 \frac{\rho_s f_{yh}}{f_{co}} \quad (\text{正方形断面の場合}) \quad (16)$$

$$E_s = -6.69 \frac{f_{co}^2}{\rho_s f_{yh}} \quad (\text{円形断面の場合}) \quad (17)$$

式(10)～(12)の代わりに、式(14)～(17)を用いた軸方向応力度比～軸方向ひずみの関係が図-11であり、計算値と実験値がよく一致していることがわかる。

8. CFS と带鉄筋による拘束効果の組み合わせ

带鉄筋で拘束したコンクリート柱の軸方向応力度～軸方向ひずみ関係を与える式(8), (9)は、 ρ_{CF} や ρ_s をどのように大きくしても必ずどこかで軸方向応力度が最大値に達し、その後、軸方向ひずみの増加とともに軸方向応力度が低下するようにモデル化されている。そのため、式(8), (9)では、今回の実験結果のように、軸方向ひずみの増加とともに軸方向応力度が増加し続ける場合の軸方向応力度～軸方向ひずみ関係を表現することができない。これに対して、CFS で拘束したコンクリート柱の軸方向応力度～軸方向ひずみ関係を与える式(1)～(3)は、軸方向応力度が最大値に達し、その後、低下する場合および軸方向ひずみの増加とともに軸方向応力度が増加し続ける場合のいずれも表現することができる。また、図-3, 4 より、CFS と带鉄筋の両者で拘束した場合も、CFS あるいは带鉄筋単独で拘束した場合と同様に、載荷の初期段階では軸方向応力度は軸方向ひずみの指数関数的に増加し、軸方向応力度の増加割合が変化した後は CFS が破断するまでは直線的に軸方向応力度が増加あるいは減少しており、軸方向応力度～軸方向ひずみ関係は図-9 と同様にモデル化することができる。そこで、ここでは、CFS と带鉄筋の両

者で補強した場合のコンクリート柱の軸方向応力度～軸方向ひずみ関係を、式(1)～(3)を用いて定式化することとし、式(1)～(3)を与えるための、 f_i , ε_i , E_s , ε_{cu} の求め方について、以下に示すこととする。

(1) 第1領域から第2領域に変化する点の軸方向応力度 f_i

f_i の評価式において、CFS で拘束した場合の式(4)の $1.93\rho_{CF}\varepsilon_{CF}E_{CF}$ (円形断面の場合), $1.53\rho_{CF}\varepsilon_{CF}E_{CF}$ (正方形断面の場合), 带鉄筋で拘束した場合の式(14)の $2.2\rho_s f_{yh}$ (円形断面の場合), 式(10)の $0.76\rho_s f_{yh}$ (正方形断面の場合) は、無補強試験体の最大圧縮応力度 f_{co} に対してそれぞれ CFS あるいは带鉄筋で横拘束を与えることによる軸方向応力度の増分を表している。式(4)において $\rho_{CF}\varepsilon_{CF}E_{CF}$ は、第1領域から第2領域に変化する点における CFS の引張応力、すなわち CFS が与える横拘束力を表しており、式(4)は CFS によって横拘束を与えることにより、この 1.93 倍 (円形断面の場合) および 1.53 倍 (正方形断面の場合) だけ、軸方向応力度が増加することを表している。同様に、带鉄筋で拘束した場合には、式(14), (10)において $\rho_s f_{yh}$ は、带鉄筋による横拘束力を表し、この 2.2 倍 (円形断面の場合), 0.76 倍 (正方形断面の場合) が带鉄筋の横拘束による軸方向応力度の増分であることを表している。

CFS と带鉄筋の両者で拘束すると、コンクリート柱には CFS による横拘束と带鉄筋による横拘束を加え合わせただけの拘束力が与えられるはずであるから、軸方向応力度の増分も、CFS の横拘束によって生じる増分と带鉄筋の横拘束によって生じる増分をそれぞれ加え合わせればよいはずである。

以上のように考えて、CFS と带鉄筋の両者で拘束した場合の f_i を、ここでは、式(4) (CFS による効果) と式(14), (10) (带鉄筋による効果) をそれぞれ加え合わせることによって表現すると以下のようになる。

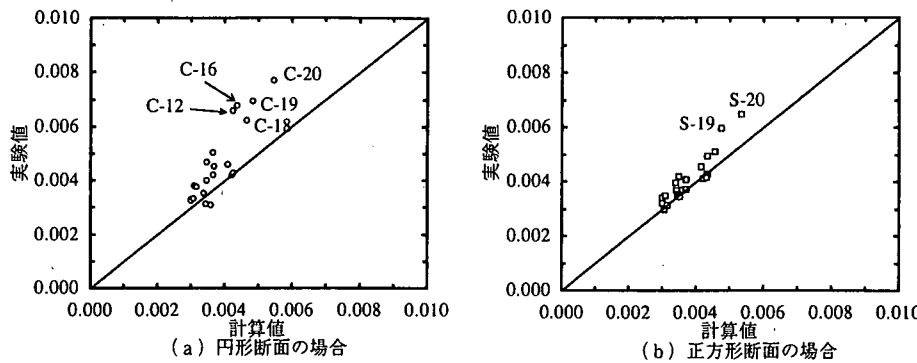


図-13 ε_r の計算値と実験値との比較

円形断面の場合：

$$f_r = f_{co} + (1.93 \rho_{CF} \varepsilon_{CF} E_{CF} + 2.2 \rho_s f_{yh}) \quad (18)$$

正方形断面の場合：

$$f_r = f_{co} + (1.53 \rho_{CF} \varepsilon_{CF} E_{CF} + 0.76 \rho_s f_{yh}) \quad (19)$$

図-12 は、式(18), (19)による f_r の計算値と実験値を比較した結果である。これより、両者は比較的良好に一致している。C-18～C-20 では、実験値が計算値を上回っているが、これらは ρ_{CF} が大きく、第2領域で軸方向応力度が増加し続けるタイプの試験体であり、第1領域と第2領域の境界が定めにくいため、 f_r の設定に幅があるためと考えられる。

(2) 第1領域から第2領域に変化する点の軸方向ひずみ ε_r

CFS で横拘束した場合の式(5)および帶鉄筋で横拘束した場合の式(15), (16)の右辺第1項は、無補強の場合に f_{co} となる際のコンクリート柱の軸方向ひずみを表している。前述の f_r と同様に考えると、CFS で拘束した場合の式(5)の $0.00939 \rho_{CF} \varepsilon_{CF} E_{CF} / f_{co}$ (円形断面の場合), $0.00995 \rho_{CF} \varepsilon_{CF} E_{CF} / f_{co}$ (正方形断面の場合), また帶鉄筋で拘束した場合の式(15)の $0.0107 \rho_s f_{yh} / f_{co}$ (円形断面の場合), 式(16)の $0.0114 \rho_s f_{yh} / f_{co}$ (正方形断面の場合) は、それぞれ CFS あるいは帶鉄筋で横拘束を与えたことにより、無補強の場合の f_{co} に相当するひずみからどれだけ軸方向ひずみが増加するかという増分を表している。CFS で拘束した場合の $\rho_{CF} \varepsilon_{CF} E_{CF} / f_{co}$ は、第1領域から第2領域に変化する点で CFS がコンクリート柱に与える横拘束力を f_{co} で除して無次元化したものであり、式(5)はこの 0.00939 倍 (円形断面の場合) および 0.00995 倍 (正方形断面の場合) だけの軸方向ひずみの増分が生じることを示している。同様に、帶鉄筋で拘束した場合の $\rho_s f_{yh} / f_{co}$ は、帶鉄筋による横

拘束力を f_{co} で除して無次元化したものであり、式(15), (16)はこの 0.0107 倍 (円形断面の場合), 0.0114 倍 (正方形断面の場合) が帶鉄筋で拘束することにより軸方向ひずみの増分が生じることを示している。

CFS と帶鉄筋の両者で拘束した場合には、それぞれの横拘束を加え合わせただけの拘束が生じるはずであるから、軸方向ひずみの増分も両者による軸方向ひずみの増分をそれぞれ加え合わせればよいと考えられる。なお、式(5), (15), (16)において右辺第1項 (無補強試験体の f_{co} 時の軸方向ひずみ) は互いに少しずつ異なっているが、これはそれぞれ CFS および帶鉄筋により単独に横拘束した場合の効果を回帰分析した結果をそのまま使用しているためである。上述した実験結果によれば、無補強の場合には、 f_{co} 時の軸方向ひずみは 0.003 前後であることから、式(5), (15), (16)の右辺第1項をいずれも 0.003 に統一して、CFS と帶鉄筋の両者で横拘束した場合の ε_r を次式で与えることとした。

円形断面の場合：

$$\varepsilon_r = 0.003 + \left(0.00939 \frac{\rho_{CF} \varepsilon_{CF} E_{CF}}{f_{co}} + 0.0107 \frac{\rho_s f_{yh}}{f_{co}} \right) \quad (20)$$

正方形断面の場合

$$\varepsilon_r = 0.003 + \left(0.00995 \frac{\rho_{CF} \varepsilon_{CF} E_{CF}}{f_{co}} + 0.0114 \frac{\rho_s f_{yh}}{f_{co}} \right) \quad (21)$$

図-13 は、式(20), (21)による ε_r の計算値と実験値を比較した結果である。これより、 ε_r の実験値が 0.003～0.005 程度であれば、計算値は円形断面、正方形断面の場合ともに、実験値とほぼ一致している。 ρ_{CF} が 1.336% あるいは ρ_s が 1.24% と大きく ε_r の実験値が 0.005 以上と大きい試験体 (C-12, C-16, C-18, C-19, C-20, S-19, S-20) では、実験値よりも計算値が小さくなるが、これは ρ_{CF} や ρ_s が大きい場合には、前述したように第2領域でも軸方向応力度が増加し続けるため、第1領域と第2領域の境界が定め

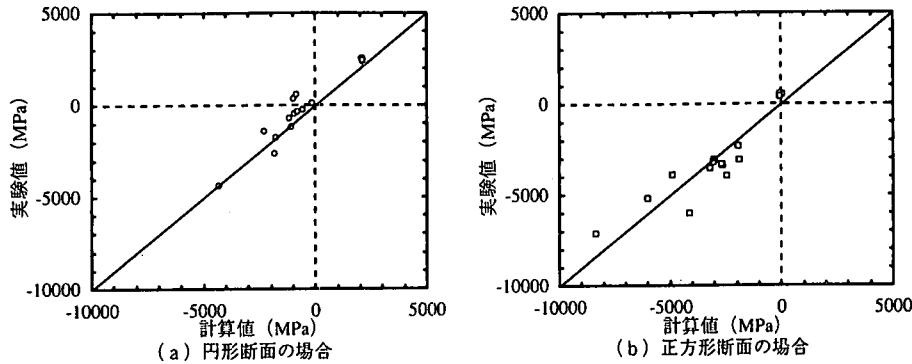


図-14 E_g の計算値と実験値との比較

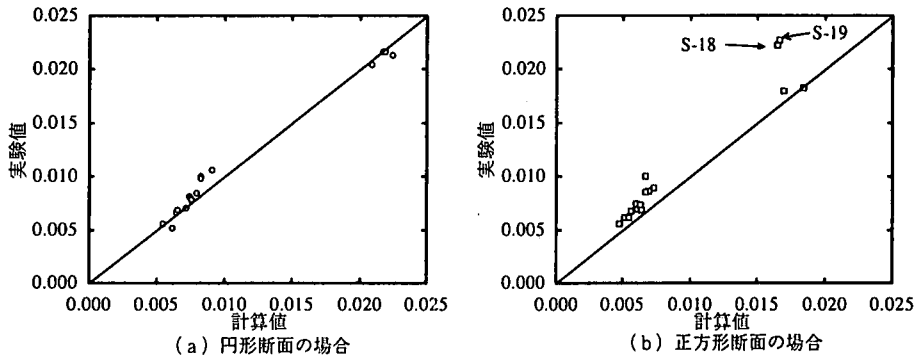


図-15 ϵ_{cu} の計算値と実験値との比較

にくく、 ϵ_i の設定に幅があるためと考えられる。

(3) 2次勾配 E_g

式(6)の第1項の分母は、CFSに生じる周方向ひずみが ϵ_{CFi} に達する時、すなわちコンクリートが破壊し始める段階でCFSによって与えられる拘束力 $\rho_{cf}E_{cf}$ を表している。同様に、式(12), (17)の分母は、帶鉄筋によって与えられる拘束力 $\rho_s f_{yh}$ を表している。前述のように、軸方向応力度を受けてコンクリートに生じる周方向ひずみが ϵ_{CFi} ($\approx 1,500 \mu$)に達するとコンクリートの破壊が始まるが、帶鉄筋で拘束した場合にはこの段階で帶鉄筋も降伏し始める。帶鉄筋の降伏ひずみ ϵ_{yh} は一般に約1,800 μ であり ϵ_{CFi} とはほぼ同じであるから、帶鉄筋の弾性係数を E_s とすれば、式(12), (17)の $\rho_s f_{yh}$ は、 $\rho_s f_{yh} = \rho_s \epsilon_{yh} E_s = \rho_s \epsilon_{CFi} E_s$ とみなすことができるため、 $\rho_s f_{yh}$ はコンクリートの破壊が生じ始める時に帶鉄筋により与えられる横拘束を表しているとみなすことができる。

したがって、CFSと帶鉄筋の両者で拘束した場合には、コンクリートが破壊し始める段階ではCFSと帶鉄筋の両者により拘束力が与えられるため、それぞの拘束力を加え合わせただけの拘束力が作用すると考えられる。ただし、式(6)の第2項は、第2領域で増加し続けるCFSによる拘束力の効果を表して

いるが、帶鉄筋の拘束力は第2領域では増加しないためここでは考慮する必要はない。

以上の考察から、ここではCFSと帶鉄筋の両者で拘束した場合の E_g を次式で与えることとした。

円形断面の場合：

$$E_g = -0.658 \frac{f_{co}^2}{\rho_{cf} \epsilon_{CFi} E_{cf} + 0.098 \rho_s f_{yh}} + 0.078 \sqrt{\rho_{cf} E_{cf}} \quad (22)$$

正方形断面の場合：

$$E_g = -1.198 \frac{f_{co}^2}{\rho_{cf} \epsilon_{CFi} E_{cf} + 0.107 \rho_s f_{yh}} + 0.012 \sqrt{\rho_{cf} E_{cf}} \quad (23)$$

式(22), (23)は、 $\rho_s=0\%$ の場合には式(6)に、また、 $\rho_{cf}=0\%$ の場合には式(12), (17)にそれぞれ一致する。

図-14は式(22), (23)による E_g の計算値と実験値とを比較した結果である。円形断面および正方形断面の場合ともに、計算値は比較的精度よく実験値と一致している。

(4) 終局ひずみ ϵ_{cu}

表-3に示したように、CFSが破断する時の軸方向ひずみ ϵ_{cu} は、軸方向応力度がその最大値の50%に低

下する時の軸方向ひずみ ε_{cu2} よりも小さい。このため、CFS と帶鉄筋の両方で拘束した場合の終局は CFS の破断によって規定されるため、CFS が破断した時を終局と定義すると、終局ひずみ ε_{cu} の算出には CFS の破断ひずみが重要となる。式(7)の $\rho_{CF}f_{CF}/f_{co}$ は、CFS が破断する直前にコンクリートに作用している CFS による拘束力を無補強試験体の最大圧縮応力度 f_{co} で割った値、 f_{CF}/E_{CF} は CFS の破断ひずみを表しており、式(7)は、 ε_{cu} が CFS の破断時にコンクリートに作用する拘束力を f_{co} で割った値と CFS の破断ひずみとの積で与えられることを表している。CFS と帶鉄筋の両者で拘束した場合には、コンクリート柱には CFS によりこれが破断する直前に与えられる拘束力を f_{co} で割った値 $\rho_{CF}f_{CF}/f_{co}$ の他に帶鉄筋による拘束力を f_{co} で割った値 $\rho_s f_{yh}/f_{co}$ が作用して、これらを合わせると全体の拘束力は $(\rho_{CF}f_{CF} + \rho_s f_{yh})/f_{co}$ となる。帶鉄筋が存在しても CFS の破断ひずみは変化しないから、帶鉄筋と CFS により拘束した場合の ε_{cu} を次式で与えることとする。

円形断面の場合：

$$\varepsilon_{cu} = 0.00383 + 0.1014 \left(\frac{\rho_{CF}f_{CF} + \rho_s f_{yh}}{f_{co}} \right)^{\frac{3}{4}} \left(\frac{f_{CF}}{E_{CF}} \right)^{\frac{1}{2}} \quad (24)$$

正方形断面の場合：

$$\varepsilon_{cu} = 0.00340 + 0.0802 \left(\frac{\rho_{CF}f_{CF} + \rho_s f_{yh}}{f_{co}} \right)^{\frac{3}{4}} \left(\frac{f_{CF}}{E_{CF}} \right)^{\frac{1}{2}} \quad (25)$$

図-15 は、式(24), (25)による ε_{cu} の計算値を実験値と比較した結果である。計算値は比較的良好く実験値と一致していることがわかる。

9. 提案式と実験結果との比較

以上のようにして求めた f_i , ε_i , E_g , ε_{cu} の評価式を用いてコンクリート柱の軸方向応力度比～軸方向ひずみ関係を求め、これを実験値と比較した結果が、図-3 および図-4 に併記してある。

円形断面の場合には、 $\rho_{CF}=0.111\%$ や 0.167% の場合に多少 2 次勾配に違いが見られるが、全体として、計算値は実験値をよく表している。2 次勾配の計算値が実験値と違うのは、帶鉄筋による拘束が十分考慮されていないことが原因と考えられる。すなわち、式(12)は、コンクリートの軸方向応力度が最大値に達した後、かぶりコンクリートの剥落に伴って減少していく状態を表しているが、CFS と帶鉄筋で補強し

た場合には CFS が破断するまでかぶりコンクリートが剥落しないため、終局時まで帶鉄筋の拘束が十分に作用するためではないかと考えられる。正方形断面の場合には、終局ひずみについては、計算値は実験値よりも多少小さくなっているが、この場合も全体としてはよく一致しているといえる。

10. 結論

本研究では、既存 RC 橋脚のじん性を向上させる目的で CFS 卷き立て補強する場合に、CFS と既存の帶鉄筋の両者による横拘束効果を地震時保有水平耐力法に基づく耐震補強設計に反映できるようにするため、CFS 量、帶鉄筋量、断面形状をパラメータとした合計 46 体のコンクリート柱の一軸圧縮試験を行い、CFS と帶鉄筋による横拘束の共同作用を検討し、その軸方向応力度～軸方向ひずみ関係を定式化した。本研究で得られた結論は、以下の通りである。

- (1) コンクリート柱を CFS だけで補強した場合には、CFS の破断とともに、軸方向応力度は急速に低下して破壊し、比較的大きな損傷が生じる。また、帶鉄筋だけで補強した場合には、軸方向応力度は最大値に達した後、徐々に低下し次第にある値に収束していく、かぶりコンクリートの剥離程度の比較的軽微な損傷ですむ。これらに対して、両者で補強した場合には、これらの中間的な破壊形態となり、CFS の一部分が破断するごとにある値ずつ軸方向応力度が低下するという過程を繰り返して、次第にある値に収束していく。カーボンファイバー比 ρ_{CF} が帶鉄筋比 ρ_s よりも相対的に大きければ CFS だけで補強した場合に、また、 ρ_s が ρ_{CF} よりも相対的に大きければ帶鉄筋だけで補強した場合に似た破壊形態となる。
- (2) CFS や帶鉄筋で補強していない無補強コンクリート柱では、コンクリート表面の周方向ひずみが $2,000 \mu$ 程度に達した時点で、軸方向応力度は最大となる。また、CFS や帶鉄筋で補強した場合には、CFS の周方向ひずみあるいは帶鉄筋ひずみが約 $2,000 \mu$ に達した時点で、コンクリート柱の軸方向応力度は最大値となったり、軸方向応力度の増加割合が小さくなったりする。すなわち、CFS あるいは帶鉄筋でどのように拘束しても、コンクリートの周方向ひずみが約 $2,000 \mu$ に達するとコンクリートは破壊し始め、 ρ_{CF} あるいは ρ_s が小さい場合には、軸方向応力度は最大となった後、次第に低下し、 ρ_{CF} や ρ_s が大きい場合には、軸方向応力度は増加し続けるものの増加割合は小さくなる。コンクリートの周方向ひずみが約 $2,000 \mu$ に達する時点では、CFS には最大引

張力の1/7～1/8程度の引張力しか生じていないのに對して、帶鉄筋は降伏してほぼ最大引張力に達している。この点が、CFSと帶鉄筋による拘束効果の違いとなっている。

(3) CFSと帶鉄筋の両者で拘束したコンクリート柱の軸方向応力度～軸方向ひずみ関係を第1領域と第2領域に区分し、第1領域は軸方向ひずみの指數関数で、第2領域は軸方向ひずみの一次関数でモデル化し、式(1)～(3)を提案した。軸方向応力度～軸方向ひずみ曲線を与える特性値として、(1)第1領域から第2領域へ変化する点でのコンクリートの軸方向応力度 f_r 、(2)第1領域から第2領域へ変化する点でのコンクリートの軸方向ひずみ ϵ_r 、(3)第2領域における直線の勾配(2次勾配) E_s 、(4)終局時のコンクリートの軸方向ひずみ ϵ_{cu} の4つを設定し、 f_r については式(18)、(19)を、 ϵ_r については式(20)、(21)を、 E_s については式(22)、(23)を、 ϵ_{cu} については式(24)、(25)をそれぞれ提案した。これらの提案式を用いて評価したコンクリートの軸方向応力度～軸方向ひずみ曲線は、実用範囲で実験値とよく一致しており、これらの式を用いることにより、CFSと帶鉄筋の両者による横拘束効果を表すことができる。

謝辞：本研究に際しては、(財)土木研究センター「炭素繊維を用いた耐震補強法研究会」において、横浜国立大学池田尚治教授、東京大学前川宏一教授をはじめとする委員の各位から、大変有益な御意見を賜りました。また、実験の推進にあたっては炭素繊維補修・補強工法技術研究会より数々の御援助を得ました。ここに記して厚く御礼申し上げます。

参考文献

- 1) Kent, D.C. and Park, R. : Flexural members with confined concrete, *Journal of the Structural Division*, ASCE,

- Vol.97, No.ST7, pp.1969-1990, Jul. 1971.
- 2) Mander, J.B., Priestley, M.J.N. and Park, R.: Theoretical stress-strain model for confined concrete, *Journal of the Structural Division*, ASCE, Vol.14, No.ST8, pp.1804-1826, Aug. 1988.
- 3) Hoshikuma, J., Kawashima, K., Nagaya, K., and Taylor, A.W. : Stress-strain model for confined reinforced concrete in bridge piers, *Journal of Structural Engineering*, ASCE, Vol.123, No.5, pp.624-633, May 1997.
- 4) 細谷学、川島一彦、星隈順一：炭素繊維シートで横拘束効果したコンクリート柱の応力度～ひずみ関係の定式化、土木学会論文集V-39, pp.37-52, 1998.5.
- 5) 小畠克朗、大内一：炭素繊維補強による道路橋脚の韌性性能評価、土木学会第51回年次学術講演会、V-467, pp.932-933, 1996年9月。
- 6) Miyauchi, K., Nishibayashi, S., and Inoue, S. : Estimation of strengthening effects with carbon fiber sheet for concrete column, Non-Metallic(FRP) Reinforcement for Concrete Structures Proceedings of the Third International Symposium, Vol.1, pp.217-224, Oct. 1997.
- 7) 細谷学、川島一彦：炭素繊維シートと帶鉄筋で補強した円柱試験体の応力度～ひずみ関係、構造工学論文集, Vol.44A, pp.861-869, 1998年3月。
- 8) 細谷学、川島一彦、星隈順一、宇治公隆：炭素繊維シートと帶鉄筋による拘束効果がコンクリート柱の応力度～ひずみ関係に与える影響、土木学会第24回地震工学研究発表会, pp.357-360, 1997年7月。
- 9) 細谷学、川島一彦：炭素繊維シートと帶鉄筋で横拘束したコンクリート柱の軸方向応力度～ひずみ関係の定式化、東京工業大学土木工学科耐震工学研究グループ, TIT/EERG 98-3, 1998年2月。

(1998.3.24 受付)

A STRESS-STRAIN MODEL FOR CONCRETE CYLINDERS CONFINED BY BOTH CARBON FIBER SHEETS AND HOOP REINFORCEMENT

Manabu HOSOTANI and Kazuhiko KAWASHIMA

In the seismic strengthening of existing reinforced concrete bridge piers with use of carbon fiber sheets(CFS), it is essential to evaluate the confinement effect of the concrete by the CFS. Since there must exist the lateral hoops in the columns, it is required to evaluate the interaction between the CFS and the hoop on the confinement effect. A series of uniaxial loading test was conducted for concrete cylinders confined by the hoops and the CFS. The interaction effect is analyzed based on the test results, and a stress-strain model of concrete confined by both CFS and the hoops is proposed.